

C7

$\text{Co}_{1-x}\text{Cr}_x(x=0.19, 0.21)$ 박막의 자벽 에너지와 Exchange Stiffness.

숙명여대 장현숙, 정한, 김미양, 이장로
전북대 이용호
청주대 장평우, 이수형

Wall Energy and Exchange Stiffness in $\text{Co}_{1-x}\text{Cr}_x(x=0.19, 0.21)$ films.

Sookmyong Women's University H.S.Jang, H.Jeung, M.Y.Kim, J.R.Rhee
Chongju University P.W.Jang, S.H.Lee
Jeonbuk National University Y.H.Lee

1. 서 론

스파터로 증착한 Co-Cr박막이 수직자기기록 매질로써 광범위하게 연구되고 있다^[1]. Co-Cr 결정의 c-축과 columns은 기판에 수직으로 발달한 이런 Co-Cr박막은 커다란 수직자기이 방성을 갖는다.

본 연구에서는 Bitter 방법을 이용해 줄무늬 자구들을 관찰했다. 유사한 자구모양들이 Hondea^[2]와 Schmidt^[3]등에 의해 발표되었다. 이런 줄무늬 모양들의 움직임을 통해 역자속은 주로 자벽운동에 의한 것이라 추측 할 수 있다^[4]. 외부 자장의 변화에 대한 줄무늬 자구들의 움직임에 대해 자세히 다루었고 자벽 에너지와 exchange stiffness에 대해 논했다.

2. 실험 방법

CoCr 박막은 RF스파터링 방법을 이용해 Coming 2948 슬라이드 유리를 기판으로 하여 준비하였다. 시료 $\text{Co}_{1-x}\text{Cr}_x(x=0.19, 0.21)$ 박막들은 직경 150mm의 합금 타겟을 이용하여 아르곤 압력 1mTorr에서 스파터링 하였고 투입 전력 200W에서 제작하였다. 시료를 10 kOe 까지 가해준 다음 외부 자장을 5.2 kOe부터 Bitter 방법을 이용해 자구들을 관찰했다. 자화의 온도 의존성과 수직이방성에너지 (K_u)는 VSM으로 측정하였다. 큐리 온도는 Arrott plot 방법으로 결정하였고 0 k 때의 포화자화는 M-T곡선의 외삽법으로 계산했다.

3. 실험결과 및 고찰

Bitter 방법을 이용해 모든 시료에서 줄무늬 자구들을 관찰했다. Fig.1 낮은 기판온도 위에 3000Å 증착한 $\text{Co}_{1-x}\text{Cr}_x$ 단일층 박막의 자구 모양이다. Bitter 방법을 통해 자화 반전 기구에 영향을 미치는 주된 원인은 자벽이동이고 외부 자장이 크면 줄무늬가 짧아 질 뿐만 아니라 자구폭도 넓어 진다. 자구폭은 자벽 에너지 밀도에 비례하는데 측정치를 표1에 나타내었다. 그리고 표1에 $\text{Co}_{1-x}\text{Cr}_x$ 박막에서 (1-x) 밀도의 자기원자를 사이의 교환 상호작용 에너지와 자벽폭을 나타내었다.

4. 결 론

Bitter 방법으로 자구 모양을 관찰했을 때 모든 시료에서 줄무늬를 나타내었다. 크롬조성 변화에 대한 자구폭의 변화는 없었으며 외부 자장이 크면 줄무늬가 짧아지고 자구폭도 넓어졌다. 자화반전 기구에 영향을 미치는 주된 원인은 자벽이동이라 생각 할 수 있다. 자구폭은 자벽 에너지 밀도에 비례함을 알 수 있는데 자벽 에너지가 높으면 교환 에너지도 커서 적은 수의 스핀에 걸쳐 변화가 생기므로 극성에 대해 안정적이다.

5. 참 고 문 헌

- [1] S.Iwasaki and K.Ouchi: IEEE Trans. Magn. MAG-14, 849(1978)
- [2] S.Honda, K.Takahashi and T.Kusuda: J. J. Appl. Phys. 26, L593(1987)

- [3] T.Wielinga, J.C.Lodder and J.worst: IEEE Trans. Magn. MAG-18, 1107(1982)
[4] A.Kouchiyama, I.Sumita, Y.Nakayama and M.Asanuma: IEEE Trans. Magn. 23, 2791(1987)

Table.I. Domain width W in the demagnetized state, the wall energy σ_w , the exchange interaction energy between magnetic atoms of density (1-x) and wall width for sputtering modes in $\text{Co}_{1-x}\text{Cr}_x$ (x=0.19, 0.21) thin films.

| Spu. mo. | #1 | #2 | #3 | #4 | #5 | #6 | #7 | #8 |
|-----------------------------------|------|------|------|------|------|------|------|------|
| W(μm) | 0.16 | 0.15 | 0.20 | 0.25 | 0.14 | 0.15 | 0.22 | 0.20 |
| $\sigma_w(\text{erg/cm}^2)$ | 3.80 | 2.40 | 6.40 | 10.8 | 2.00 | 1.80 | 5.80 | 4.30 |
| $(\times 10^{14} \text{ erg/cc})$ | 4.60 | 2.70 | 7.30 | 22.2 | 1.80 | 2.70 | 12.5 | 8.70 |
| $\delta (\text{\AA})$ | 162 | 120 | 188 | 373 | 93 | 124 | 271 | 440 |

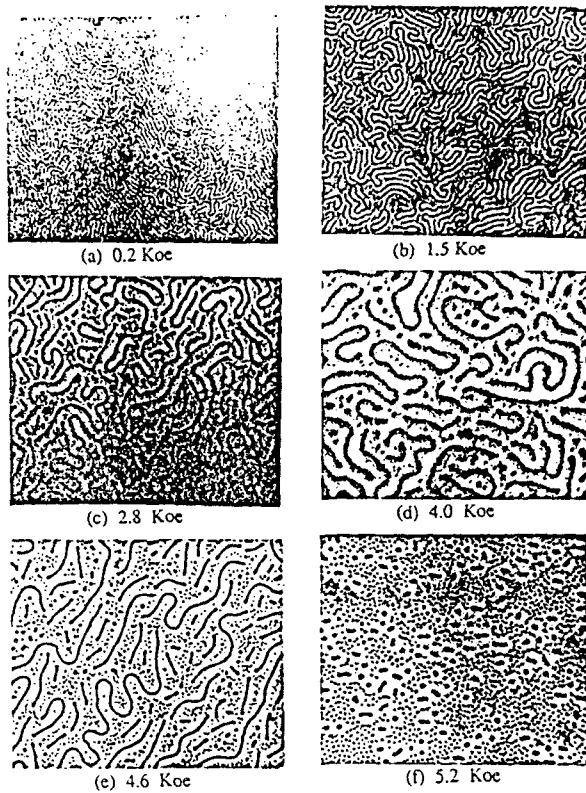


Photo. 4-7. Bitter patterns during reducing external field after saturating the magnetization for $\text{Co}_{1-x}\text{Cr}_x$ thin films deposited on the glass substrate at $T_s=27^\circ\text{C}$.(Sputtering mode #1)